

RCA

Triac 2N5444

Datasheet

# Silicon Triac

## **2N5444**

40A Triac

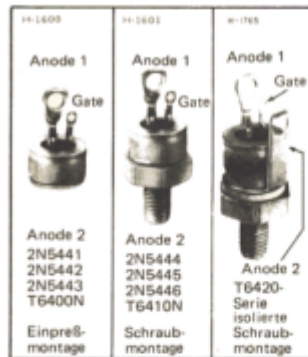
200V / 40A

# DATASHEET

OEM –RCA

Source: RCA Databook 1974

Triacs	2N5441-2N5446 T6400-Serie T6410-Serie T6420-Serie	Blatt Nr. 593
--------	--	---------------



## 40-Ampere-Triacs

Für Einpreß-, Schraub- und isolierte Schraubmontage

Für 120-V Netzbetrieb ..... 2N5441, 2N5444, T6420B (40688)<sup>+</sup>

Für 240-V Netzbetrieb ..... 2N5442, 2N5445, T6420D (40689)<sup>+</sup>

Für hohe Betriebsspannungen 2N5443, 2N5446, T6420M (40690)<sup>+</sup>  
T6400N, T6410N, T6420N  
(40925, 40926, 40927)<sup>+</sup>

### Eigenschaften:

- Stromanstiegsgeschwindigkeit bis zu 100 A/ $\mu$ s möglich
- "Shorted-Emitter"-Technologie, Aufbau mit zentralem Gate
- Niedrige Schaltverluste
- Geringer Spannungsabfall in Flussrichtung bei hohen Strömen
- Niedriger Wärmewiderstand

Diese Triacs sind über ein Gate gesteuerte Vollwellen-Silizium-Wechselstromschalter. Sie lassen sich bei beiden Polaritäten der angelegten Betriebsspannung mit positiven oder negativen Triggerspannungen am Gate vom ausgeschalteten in den eingeschalteten Zustand umschalten.

### Absolute Grenzwerte

(Für ohmsche oder induktive Last und sinusförmige Be-triebsspannung bei Frequenzen bis zu 50/60 Hz):

★ Periodische Spitzensperrspannung: ●

(bei offenem Gate und  $T_j = -65$  bis  $110^\circ\text{C}$ )

Diese Triacs sind bestimmt für das Schalten von Wechselstromlasten in Anwendungen wie Heizungs-, Motor- und Beleuchtungssteuerungen, elektrischen Schweißgeräten und Leistungs-Schaltanlagen. Sie können ebenfalls in Klimaanlagen und Fotokopiereinrichtungen eingesetzt werden.

2N5441      2N5442      2N5443      T6400N  
2N5444      2N5445      2N5446      T6410N  
T6420B      T6420D      T6420M      T6420N

200      400      600      800      V

40      40      40      40      A

40      40      40      40      A

s. Bild 3

300      265      350      350      A

300      265      350      350      A

s. Bild 4

100      100      100      100      A/ $\mu$ s

350      350      350      350      A $^2$ s

12      12      12      12      A

40      40      40      40      W

0,75      0,75      0,75      0,75      W

-65 bis 150      -65 bis 150      -65 bis 150      -65 bis 150      °C

-65 bis 110      -65 bis 110      -65 bis 110      -65 bis 110      °C

225      225      225      225      °C

■ Für beide Polaritäten der auf Anode 1 bezogenen Spannung am Gate ( $V_G$ ).

▲ Der Temperaturmeßpunkt ist aus der Meßskizze zu entnehmen.

**Elektrische Kennwerte**bei absoluten Grenzwerten (sofern nicht anders angegeben) und bei angegebener Gehäusetemperatur ( $T_C$ )

Kennwert	Symbol	Streubereich			Einheit	
		für alle Typen sofern nicht anders angegeben				
		Min.	Typ.	Max.		
Spitzenstossstrom: $I_{DROM}$ (bei offenem Gate, $T_j = 110^\circ\text{C}$ , $V_{DROM} = \text{max. zul. Grenzwert}$ )	$I_{DROM}$	—	0,2	4 *	mA	
Durchlaßspannung: $V_{TM}$ für $i_T = 100 \text{ A}$ (Spitzenwert), $T_C = 25^\circ\text{C}$ ..... für $i_T = 56 \text{ A}$ (Spitzenwert), $T_C = 25^\circ\text{C}$ .....	$V_{TM}$	—	1,7 1,5	2 1,85	V	
Halte-Gleichstrom: $I_{HO}$ bei offenem Gate, einem anfänglichen Hauptstrom von 500 mA (Gleichstrom) und $V_D = 12 \text{ V}$ : $T_C = 70^\circ\text{C}$ ..... $T_C = -65^\circ\text{C}$ ..... für andere Gehäusetemperaturen .....	$I_{HO}$	— —	25 — siehe Bild 6	60 100 *	mA	
Kritische Ansteigegeschwindigkeit der Kommutierungsspannung: $dV/dt$ für $V_D = V_{DROM}$ , $I_T(\text{RMS}) = 40 \text{ A}$ , Kommutierungs-Stromanstieg = 22 A/ms, nicht angesteuertes Gate, (siehe Bild 14): $T_C = 70^\circ\text{C}$ (Typen für Einpreßmontage) ..... $T_C = 65^\circ\text{C}$ (Typen für Schraubmontage) ..... $T_C = 60^\circ\text{C}$ (Typen für isolierte Schraubmontage) .....	$dV/dt$	5 * 5 * 5	30 30 30	— — —	V/ $\mu$ s	
Kritische Ansteigegeschwindigkeit der Sperrspannung: $dV/dt$ für $V_D = V_{DROM}$ , exponentiellen Spannungsanstieg, offenes Gate und $T_C = 110^\circ\text{C}$ : 2N5441, 2N5444, T6420B ..... 2N5442, 2N5445, T6420D ..... 2N5443, 2N5446, T6420M ..... T6400N, T6410N, T6420N .....	$dV/dt$	50 * 30 * 20 * 10	200 150 100 75	— — — —	V/ $\mu$ s	
Gate-Triggereleichstrom: $I_{GT}$ Betriebsart $V_{MT2}$ $V_G$ für $V_D = 12 \text{ V}$ (dc) $R_L = 30 \Omega$ $T_C = 25^\circ\text{C}$ $I^+$ positiv positiv ..... $III^-$ negativ negativ ..... $I^-$ positiv negativ ..... $III^+$ negativ positiv .....	$I_{GT}$	— — — —	15 20 30 40	50 50 80 80	mA	
Betriebsart $V_{MT2}$ $V_G$ für $V_D = 12 \text{ V}$ (dc) $R_L = 30 \Omega$ $T_C = -65^\circ\text{C}$ $I^+$ positiv positiv ..... $III^-$ negativ negativ ..... $I^-$ positiv negativ ..... $III^+$ negativ positiv .....	$I_{GT}$	— — — —	— — — —	125 * 125 * 240 * 240 *		
für andere Gehäusetemperaturen .....		siehe Bilder 8 und 9				
Gate-Triggereleichspannung: $V_{GT}$ für $v_D = 12 \text{ V}$ (dc), $R_L = 30 \Omega$ $T_C = 25^\circ\text{C}$ ..... $T_C = -65^\circ\text{C}$ ..... für andere Gehäusetemperaturen .....	$V_{GT}$	— — 0,2	1,35 1,8 siehe Bild 10	2,5 3,4 * —	V	
Einschaltzeit bei Steuerung über das Gate: (Verzögerungszeit + Ansteigzeit) für $v_D = V_{DROM}$ , $I_{GT} = 200 \text{ mA}$ , $t_f = 0,1 \mu\text{s}$ , $i_T = 60 \text{ A}$ (peak), $T_C = 25^\circ\text{C}$ (siehe Bilder 11 und 15) .....	$t_{gt}$	—	1,7	3	$\mu$ s	
Wärmewiderstand zwischen Sperrsicht und Gehäuse: im eingeschwungenen Zustand Typen für Einpreßmontage ..... Typen für Schraubmontage ..... Typen für isolierte Schraubmontage ..... während des Einschwingens (alle Typen) .....	$R_{\theta JC}$	— — —	— — —	0,8 * 0,9 * 1,0 siehe Bild 12	°C/W	

\* In Übereinstimmung mit der JEDEC-Norm (JS-14, RDP2I) für die JEDEC 2N-Typen.

♦ Für beide Polaritäten der auf Anode 1 bezogenen Spannung an Anode 2 ( $V_{MT2}$ ).◆ Für beide Polaritäten der auf Anode 1 bezogenen Gate-Spannung ( $V_G$ ).

Blatt Nr. 593

2N5441–2N5446, T6400, T6410, T6420-Serie

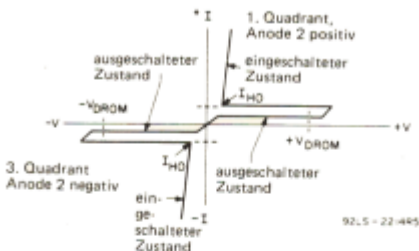


Bild 1: Prinzipielle Strom-Spannungs-Kennlinie

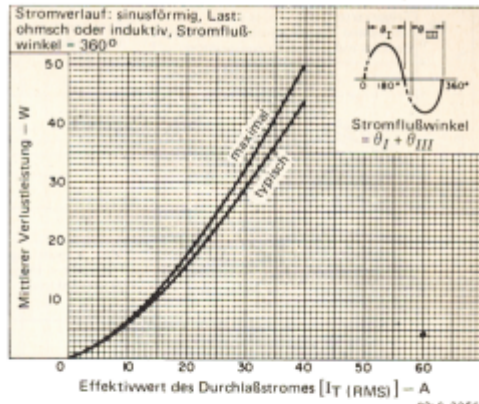


Bild 2: Verlustleistung in Abhängigkeit vom Durchlaßstrom

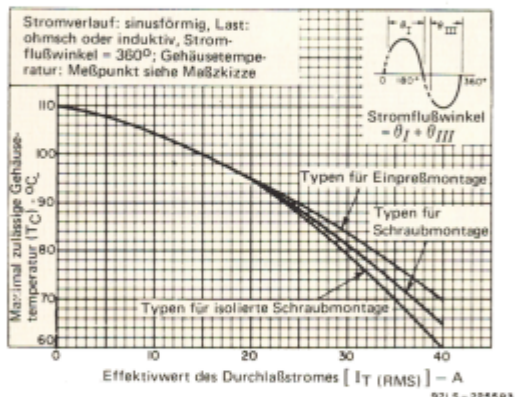


Bild 3: Maximal zulässige Gehäusetemperatur in Abhängigkeit vom Durchlaßstrom

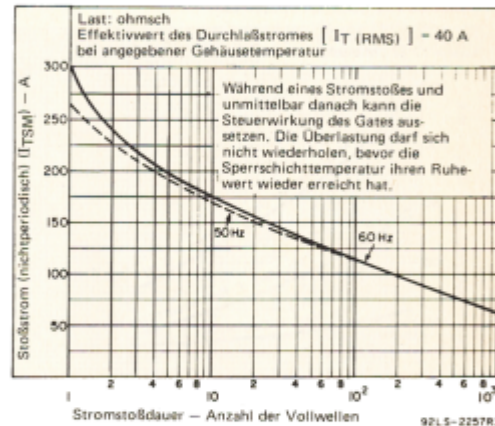


Bild 4: Stoßstrom in Abhängigkeit von der Stromstoßdauer

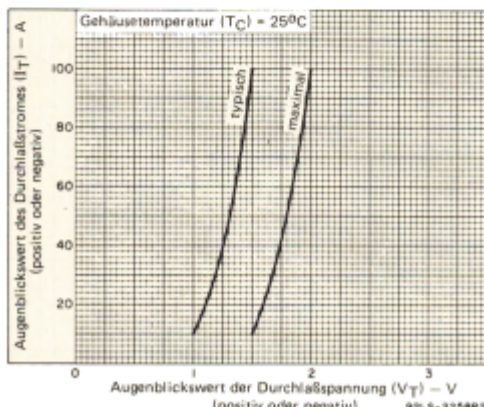


Bild 5: Durchlaßstrom in Abhängigkeit von der Durchlaßspannung

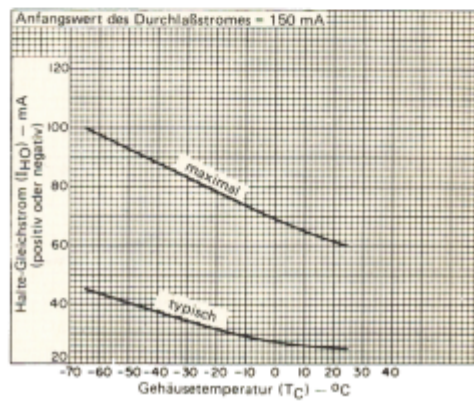


Bild 6: Halte-Gleichstrom in Abhängigkeit von der Gehäuse-temperatur

2N5441–2N5446, T6400, T6410, T6420-Serie

Blatt Nr. 593

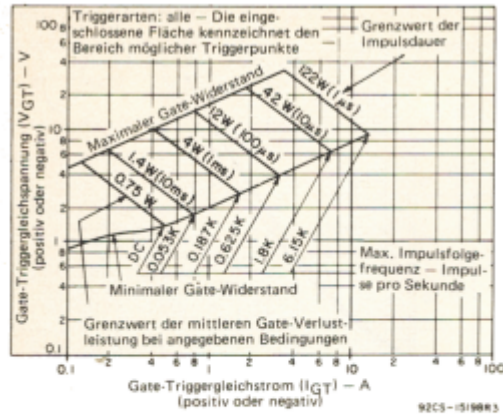


Bild 7: Gate-Triggerverhalten sowie Grenzbedingungen für die Bestimmung der zulässigen Gate-Triggerimpulse

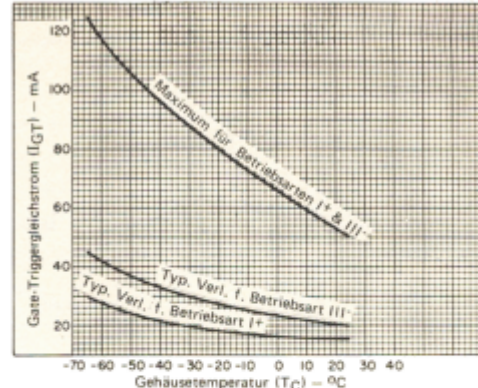


Bild 8: Gate-Triggergleichstrom in Abhängigkeit von der Gehäusetemperatur (Betriebsarten I+ &amp; III-)

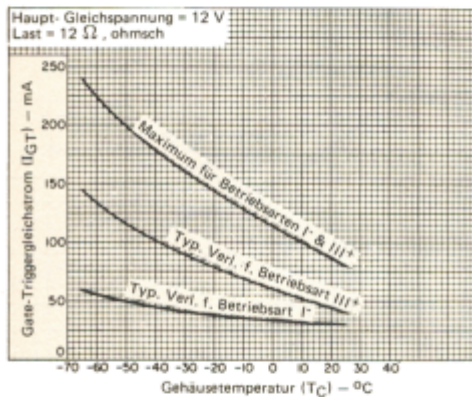


Bild 9: Gate-Triggergleichstrom in Abhängigkeit von der Gehäusetemperatur (Betriebsarten I- &amp; III+)

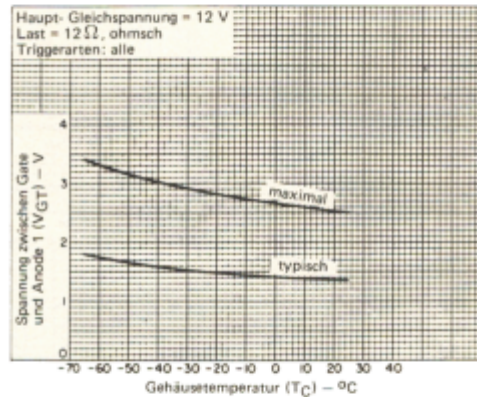


Bild 10: Gate Triggergleichspannung in Abhängigkeit von der Gehäusetemperatur

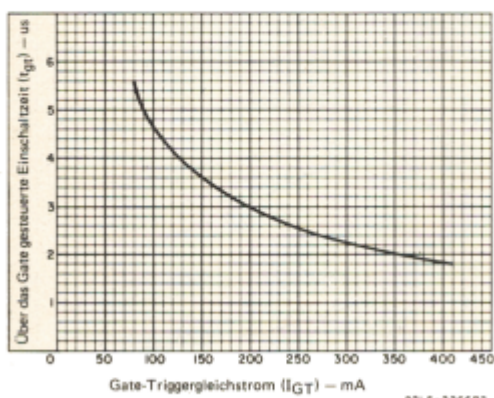


Bild 11: Einschaltzeit in Abhängigkeit vom Gate-Triggerstrom

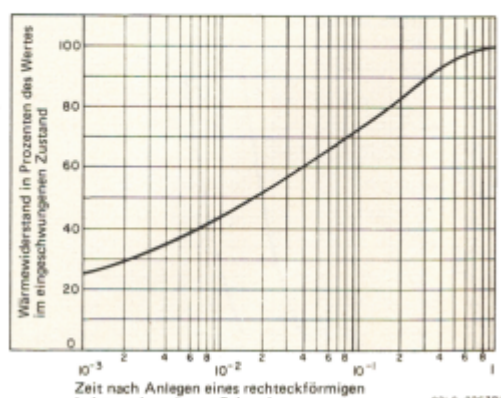


Bild 12: Einschwing-Wärmeleitwiderstand zwischen Sperrschicht und Gehäuse in Abhängigkeit von der Zeit für alle Typen

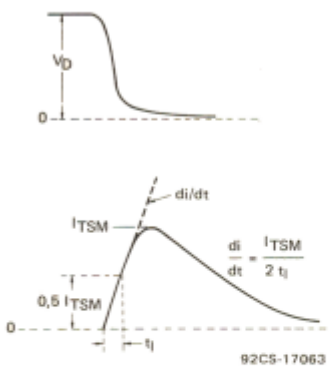


Bild 13: Zeitlicher Anstieg des Durchlaßstromes (Definition von  $di/dt$ )

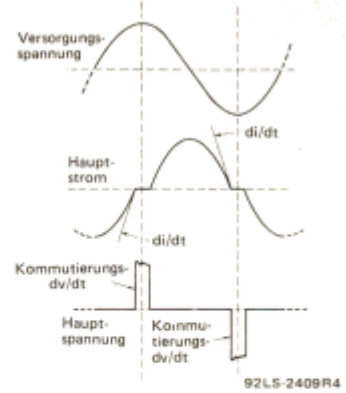


Bild 14: Zusammenhang zwischen Versorgungsspannung und Hauptstrom (bei induktiver Last) mit den Bezugspunkten für die Definition der Kommutierungsspannung ( $dv/dt$ )

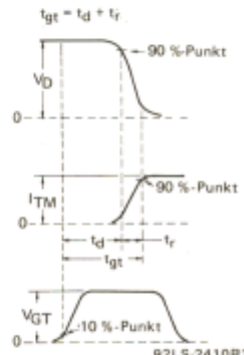


Bild 15: Zusammenhang zwischen Sperrspannung, Durchlaßstrom und Gate-Triggerspannung mit den Bezugspunkten für die Definition der Einschaltzeit ( $t_{gt}$ )

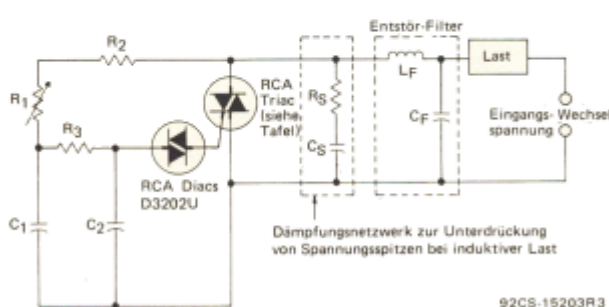


Bild 16: Typische Schaltung zur Phasenanschnittsteuerung von Heizungs- und Beleuchtungsanlagen sowie der Drehzahl von Universalmotoren

Eingangs-Wechselspannung	120 V 60 Hz	240 V 60 Hz	240 V 50 Hz
C <sub>1</sub>	0,1 $\mu$ F 200 V	0,1 $\mu$ F 400 V	0,1 $\mu$ F 400 V
C <sub>2</sub>	0,1 $\mu$ F 100 V	0,1 $\mu$ F 100 V	0,1 $\mu$ F 100 V
R <sub>1</sub>	100 k $\Omega$ 1/2 W	200 k $\Omega$ 1 W	250 k $\Omega$ 1 W
R <sub>2</sub>	2,2 k $\Omega$ 1/2 W	3,3 k $\Omega$ 1/2 W	3,3 k $\Omega$ 1/2 W
R <sub>3</sub>	15 k $\Omega$ 1/2 W	15 k $\Omega$ 1/2 W	15 k $\Omega$ 1/2 W
Dämpfungsnetzwerk für 40 A RMS • induktiv	C <sub>S</sub> 0,18- 0,22 $\mu$ F 200 V	C <sub>S</sub> 0,18- 0,22 $\mu$ F 400 V	C <sub>S</sub> 0,18- 0,22 $\mu$ F 400 V
	R <sub>S</sub> 330- 390 $\Omega$ 1/2 W	R <sub>S</sub> 330- 390 $\Omega$ 1/2 W	R <sub>S</sub> 330- 390 $\Omega$ 1/2 W
Entstör-Filter	C <sub>F</sub> * 0,1 $\mu$ F 200 V	C <sub>F</sub> * 0,1 $\mu$ F 400 V	C <sub>F</sub> * 0,1 $\mu$ F 400 V
	L <sub>F</sub> * 100 $\mu$ H	L <sub>F</sub> * 200 $\mu$ H	L <sub>F</sub> * 200 $\mu$ H
RCA Triacs	2N5441 2N5444 T6420B	2N5442 2N5445 T6420D	2N5442 2N5445 T6420D

• Für andere Stromwerte wird auf den RCA Applikationsbericht AN-4745 verwiesen.

\* Typische Werte für Beleuchtungssteuerungen.

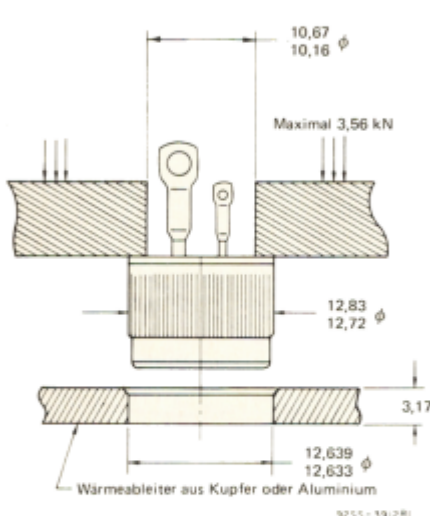
**Einbauhinweise**

Die Preßmontage eines dafür vorgesehenen Gehäuses beruht auf einer Quetschverbindung zwischen Triacgehäuse und Wärmeableiter. Beim Einpressen des Triacs in die Bohrung des Wärmeableiters fließt Material des Wärmeableiters in die Rändelriefen des Triacgehäuses. Daraus ergeben sich niedrige Werte für thermischen und elektrischen Übergangswiderstand zwischen Gehäuse und Wärmeableiter.

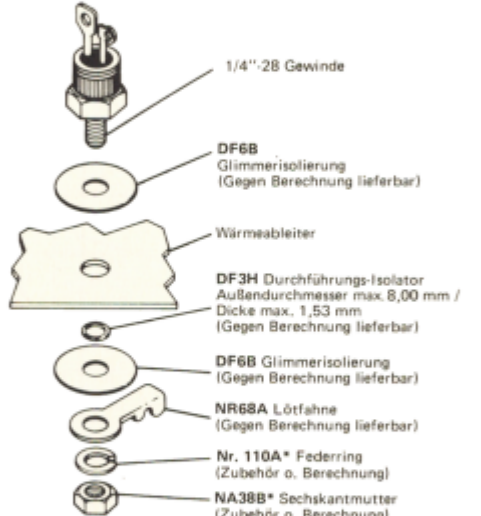
Bild 17 zeigt die empfohlene Einbaumethode mit den Abmessungen von Preßsitzrändelung und Bohrung. Werden diese Abmessungen eingehalten, so läßt sich das Einpressen des Triacs auch im ungünstigsten Fall mit einem Kraftaufwand von unterhalb der maximal zulässigen 3,56 kN (363 kg) bewerkstelligen. Eine leichte Abschrägung der Bohrung trägt zu einwandfreier Zentrierung und Einführung des Einpreß-

gehäuses in den Wärmeableiter bei. Als Preßwerkzeug sollte ein Hohlzylinder mit einem inneren Durchmesser von 9,65 ± 0,254 mm und einem äußeren Durchmesser von 12,7 mm verwendet werden. Diese Maße gewährleisten ausreichenden Abstand von den Anschlüssen und verhindern, daß eine direkte Preßkraft auf die Glasverkapselung ausgeübt wird.

Die Einbaumöglichkeiten eines Einpreßgehäuses sind nicht auf das Einpressen beschränkt. Direktes Einlöten sowie die Verwendung von Epoxydklebern wurden erfolgreich erprobt. Die Preßsitz ist verzinkt, um direktes Einlöten in den Wärmeableiter zu ermöglichen. Es sollte ein Sikkerlot (60-40) verwendet werden, und die Wärmeeinwirkung sollte nicht länger andauern als für das freie Fließen des Lotes erforderlich.



*Bild 17: Empfohlene Einbaumethode für die für Preßmontage vorgesehenen Typen*



\* Für isolierte Typen wird nur dieses Zubehör benötigt.

In Europa, Afrika und den Ländern des mittleren Ostens werden die Bauelemente z. T. mit und z. T. ohne Zubehör geliefert. Fragen Sie bitte Ihren RCA-Repräsentanten.

*Bild 18: Einbau der für Schraubmontage vorgesehenen Typen*

Gehäuse	Einbauart	Wärmewiderstand – °C/W
	In Wärmeableiter eingepréßt. Mindestdicke des Wärmeableiters: 3,17 mm	0,5
Für Einpreßmontage	In Wärmeableiter eingelötet. Ein Sikkerlot (60-40) mit einem Schmelzpunkt von 188 °C sollte verwendet werden. Die Erwärmungszeit sollte ausreichen, um das Lot frei fließen zu lassen	0,1 bis 0,35
Für Schraubmontage	Direkt auf Wärmeableiter aufgeschraubt, mit oder ohne Verwendung von Wärmeleitpaste.	0,6

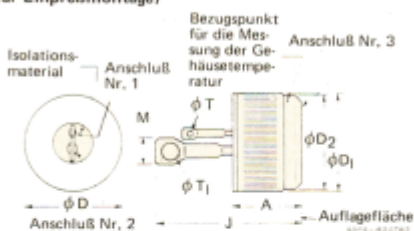
Schaltungsentwicklern wird empfohlen, die „Operating Considerations for RCA Solid State Devices“, Blatt Nr. 1CE-402 zu beachten.

**WARNUNG:** Der Keramikkörper dieses Bauelementes enthält Berylliumoxyd. Diesen Teil nicht quetschen, schleifen oder schmirgeln, da das einatmen des durch solche Behandlung entstehenden Staubes gefährlich sein kann. Die Beseitigung sollte durch Eingraben erfolgen.

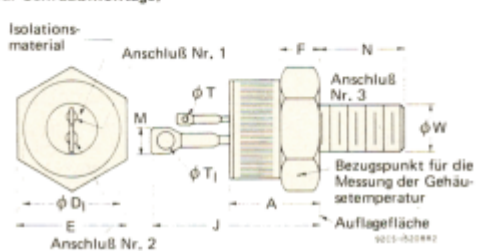
Blatt Nr. 593

2N5441–2N5446, T6400, T6410, T6420-Serie

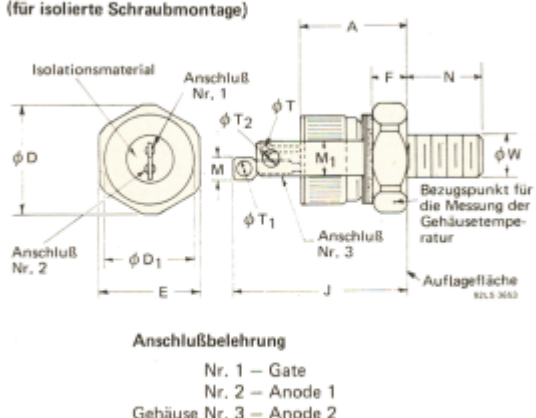
**Maßskizze für die Typen  
2N5441, 2N5442, 2N5443, T6400N  
(für Einpreßmontage)**



**Maßskizze für die Typen  
2N5444, 2N5445, 2N5446, T6410N  
(für Schraubmontage)**



**Maßskizze für die Typen  
der T6420-Serie  
(für isolierte Schraubmontage)**



Symbol	Zoll		Millimeter		Hinweis
	Min.	Max.	Min.	Max.	
A	—	0,380	—	9,65	
φD	0,501	0,510	12,73	12,95	
φD <sub>1</sub>	—	0,505	—	12,83	2
φD <sub>2</sub>	0,465	0,475	11,81	12,07	
J	0,825	1,000	20,95	25,40	
M	0,215	0,225	5,46	5,71	1
φT	0,058	0,068	1,57	1,73	
φT <sub>1</sub>	0,138	0,148	3,51	3,75	

**Hinweise:**

- Angaben über Form und Winkel ausrichtung dieser Anschlüsse sind unverbindlich.
- Außendurchmesser der Rändelung.

Symbol	Zoll		Millimeter		Hinweis
	Min.	Max.	Min.	Max.	
A	0,330	0,505	8,4	12,8	—
φD <sub>1</sub>	—	0,544	—	13,81	—
E	0,544	0,562	13,82	14,28	—
F	0,113	0,200	2,87	5,08	3
J	0,950	1,100	24,13	27,94	—
M	0,215	0,225	5,46	5,71	1
N	0,422	0,453	10,72	11,50	—
φT	0,058	0,068	1,47	1,73	—
φT <sub>1</sub>	0,138	0,148	3,51	3,75	—
φW	1/4-28	UNF-2A	1/4-28	UNF-2A	2

**Hinweise:**

- Angaben über Form und Winkel ausrichtung dieser Anschlüsse sind unverbindlich.
- φW ist der Teilkreisdurchmesser des plattierten 1/4"-28 Gewindes.
- Abschrägung oder Unterschneidung einer oder beider Seiten des sechskantigen Teils bleibt vorbehalten.

Symbol	Zoll		Millimeter		Hinweis
	Min.	Max.	Min.	Max.	
A	—	0,673	—	17,09	—
φD	0,604	0,614	15,34	15,59	—
φD <sub>1</sub>	0,501	0,505	12,72	12,82	—
E	0,551	0,557	13,99	14,14	—
F	0,100	0,110	2,54	2,79	—
J	—	1,298	—	32,96	—
M	0,210	0,230	5,33	5,84	—
M <sub>1</sub>	0,200	0,210	5,08	5,33	—
N	0,422	0,452	10,72	11,48	—
φT	0,058	0,068	1,47	1,73	2
φT <sub>1</sub>	0,138	0,148	3,51	3,75	2
φT <sub>2</sub>	0,138	0,148	3,51	3,75	2
φW	1/4-28	UNF-2A	1/4-28	UNF-2A	3

**Hinweise:**

- Isolationsmaterial (Keramik) zwischen Sechskant und Anschluß Nr. 3 ist Berylliumoxyd.
- Angaben über Form und Winkel ausrichtung dieser Anschlüsse sind unverbindlich.
- φW ist der Teilkreisdurchmesser des plattierten 1/4"-28 Gewindes.